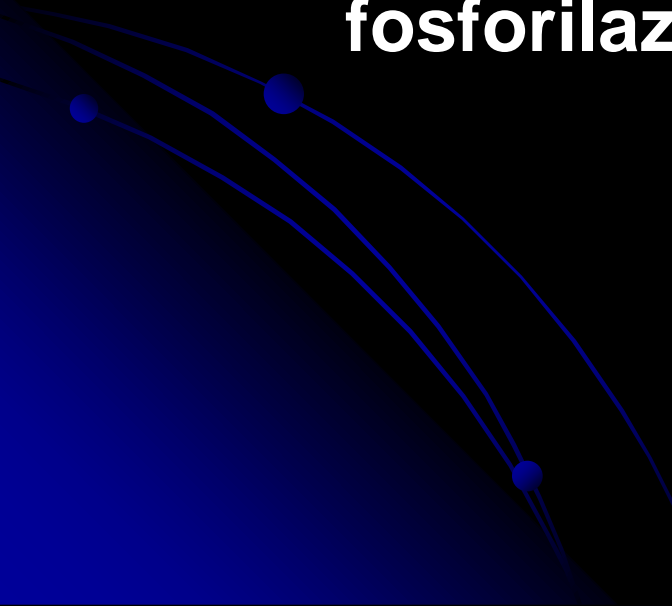


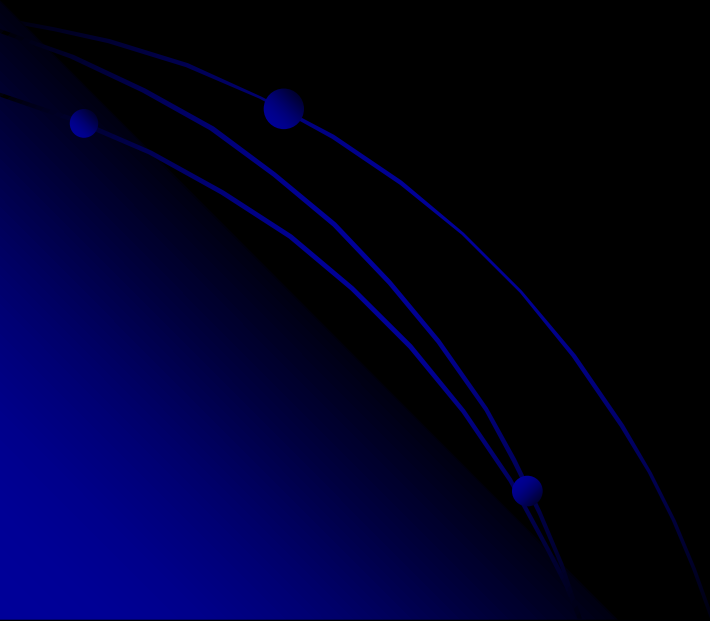
MD vs MS – PNP

PRIMJER INTERPRETACIJE MS EKSPERIMENATA MD SIMULACIJAMA

Heksamer vs. dimer - purinska nukleozidna
fosforilaza (PNP) iz bakterije *E. coli*



**RAZUMIJEVANJE REZULTATA MASENE SPEKROMETRIJE (MS) NA
MOLEKULARNOJ RAZINI**



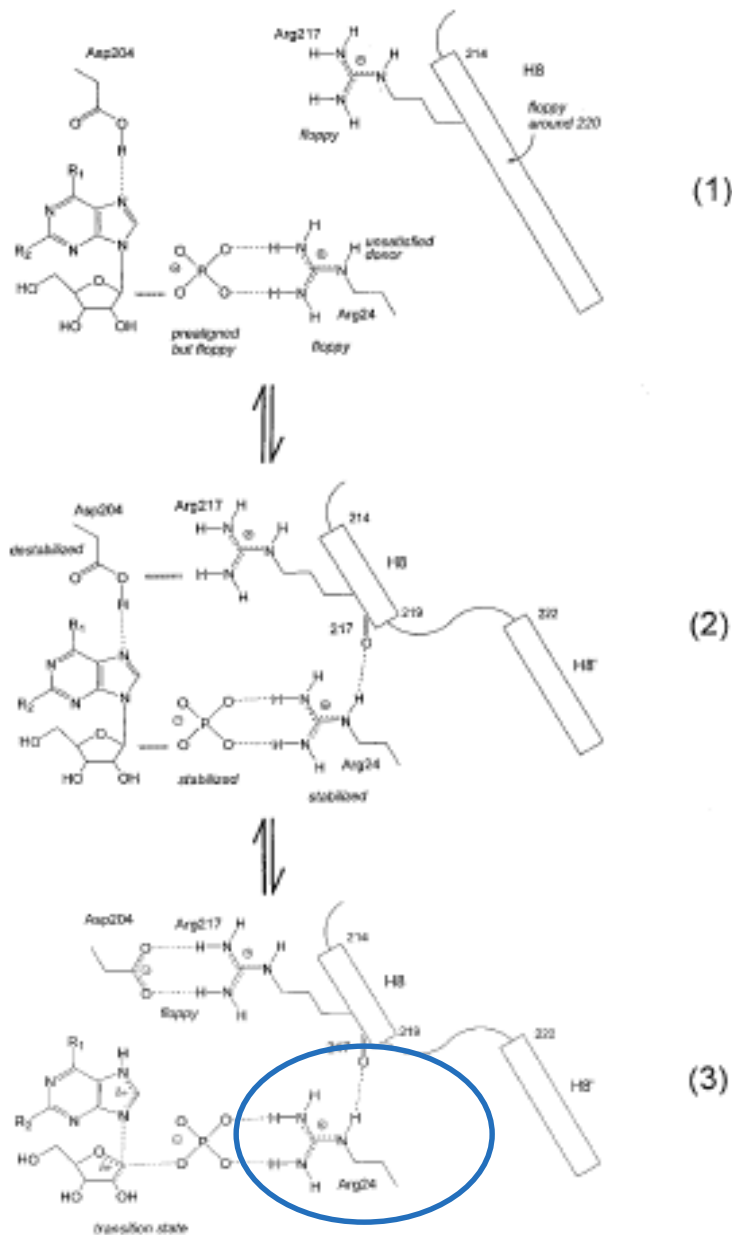
Sustavi koji su praćeni s MS i MD :

WT

1. APO
2. BINARNI KOMPLEKS SA FOSFATOM
3. TERNARNI KOMPLEKS (FOSFAT I NUKLEOZID)

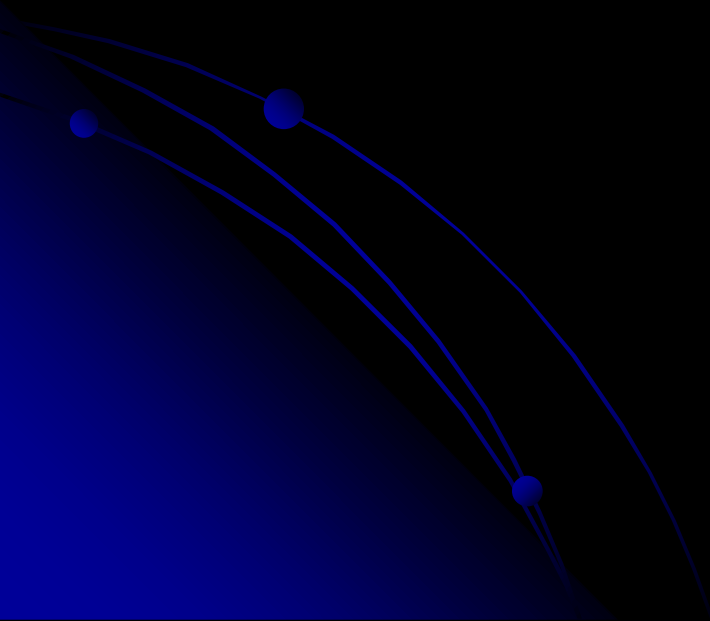
R24A

1. APO
 2. BINARNI KOMPLEKS SA FOSFATOM
 3. TERNARNI KOMPLEKS (FOSFAT I NUKLEOZID)
- 



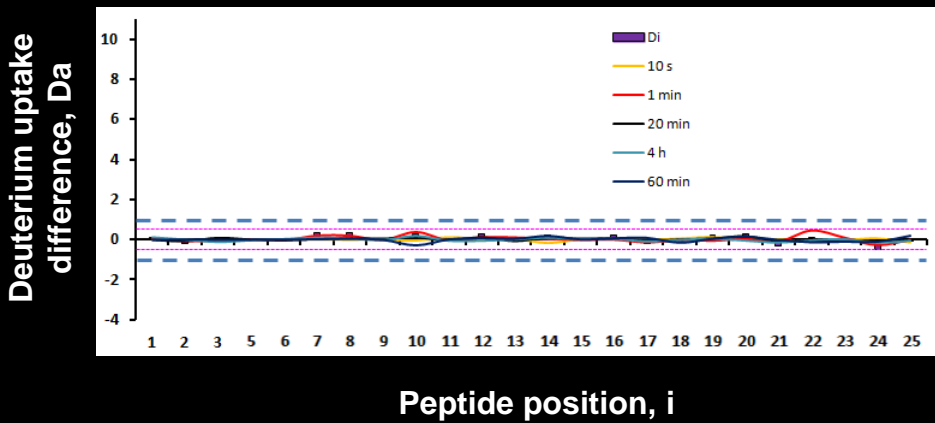
Scheme 6. Possible catalytic mechanism of *E. coli* PNP involving protonation of the base at position N7. Asp204 must be in the acid form prior nucleoside binding. Note that the mechanism allows large variations at the six-membered ring of the base, whereas replacement of N7 by C-H leads to complete loss of activity. This is actually observed in experiment (the enzyme allows 6-oxo- as well as 6-aminopurine nucleosides as substrates, and even cleaves benzimidazole nucleosides, whereas it is inactive towards 7-deazapurine nucleosides).

REZULTATI H/D IZMJENE PRAĆENE
MASENOM SPEKTROMETRIJOM

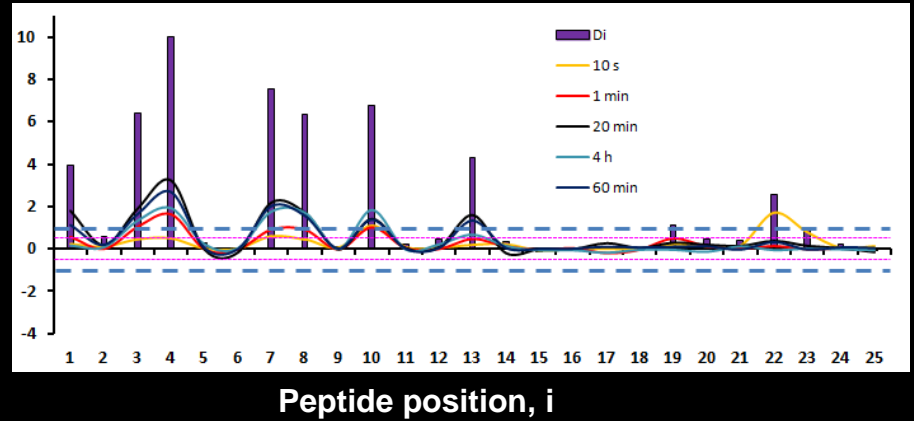


Unliganded vs. binary complex with phosphate

A) R24A mutant of *E. coli* PNP protein

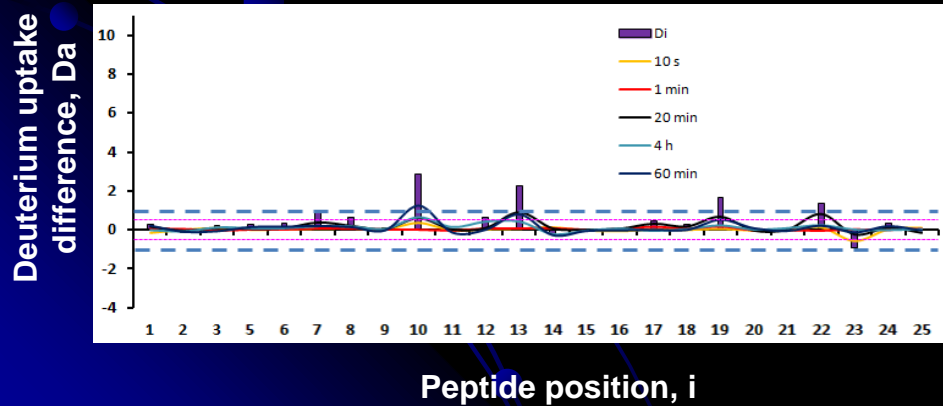


B) Wild type *E. coli* PNP protein

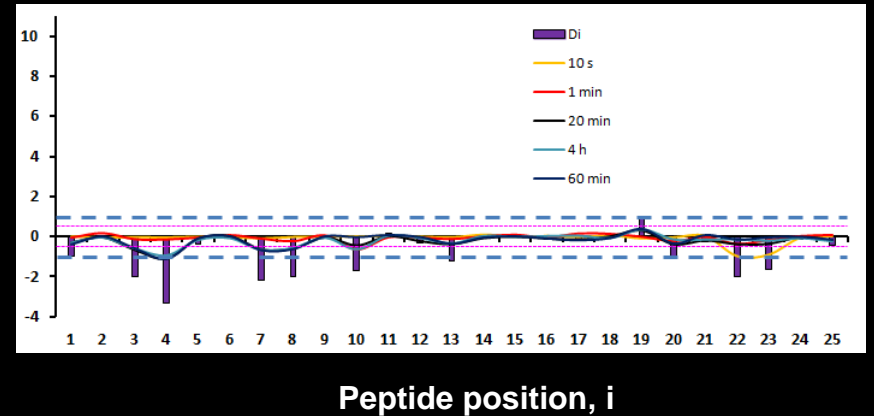


Binary complex with phosphate vs. ternary complex with phosphate and formycin

C) R24A mutant of *E. coli* PNP protein

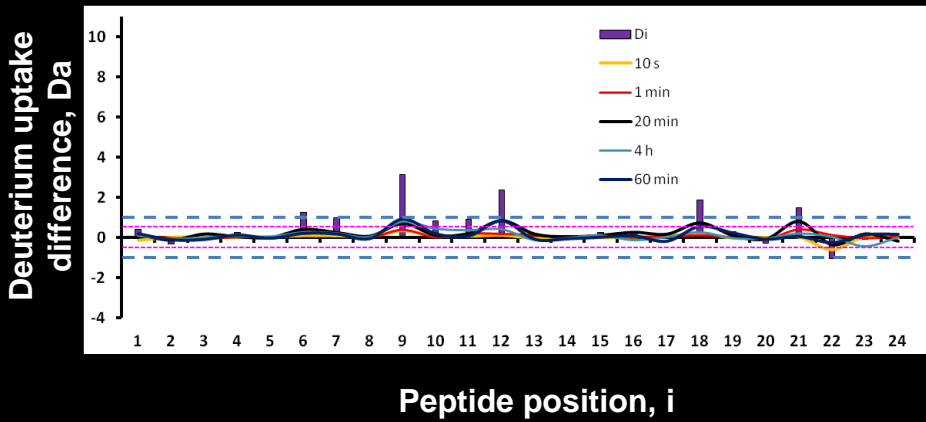


D) Wild type *E. coli* PNP protein

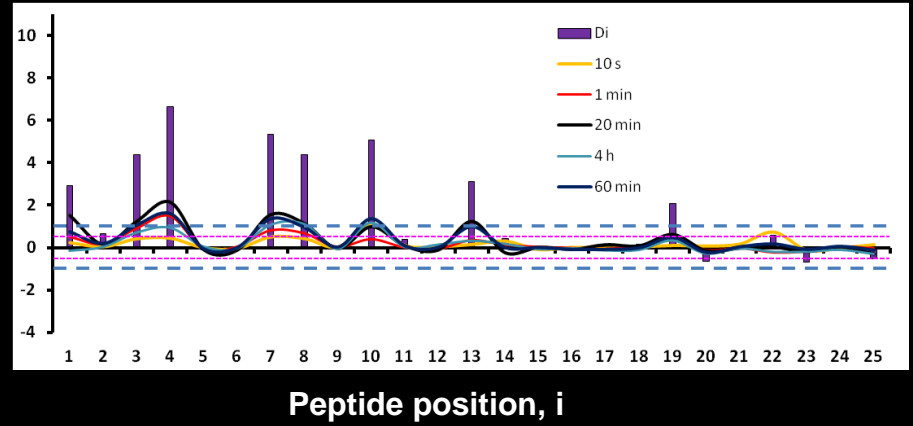


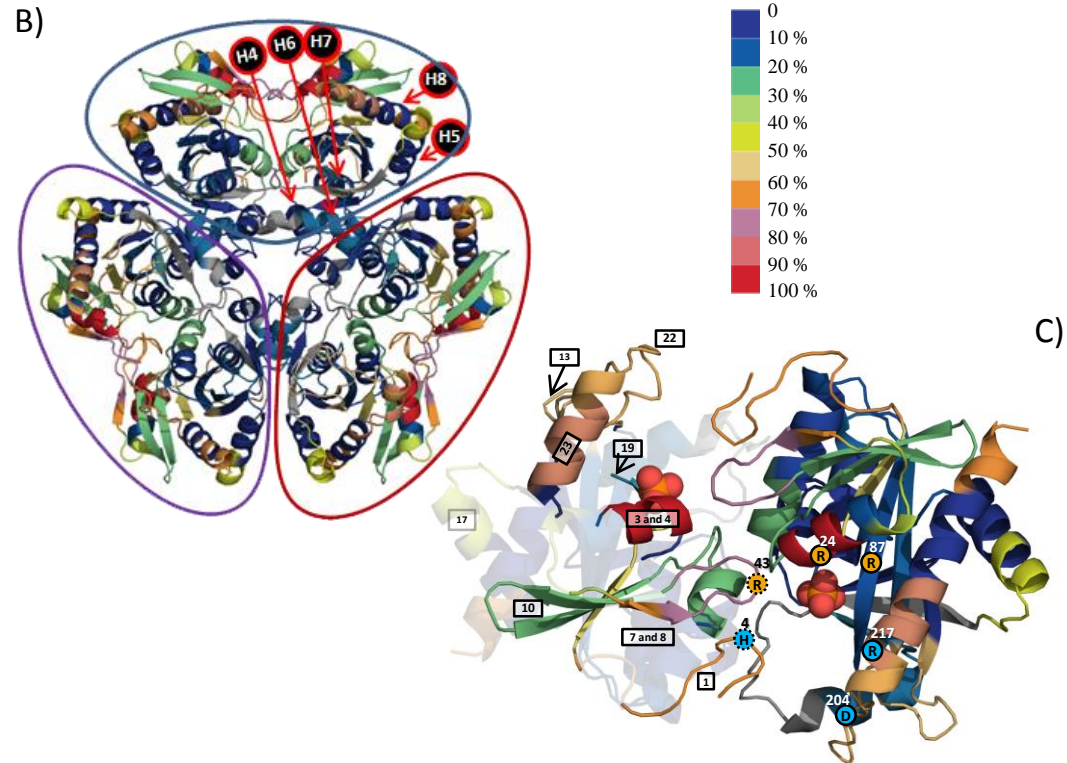
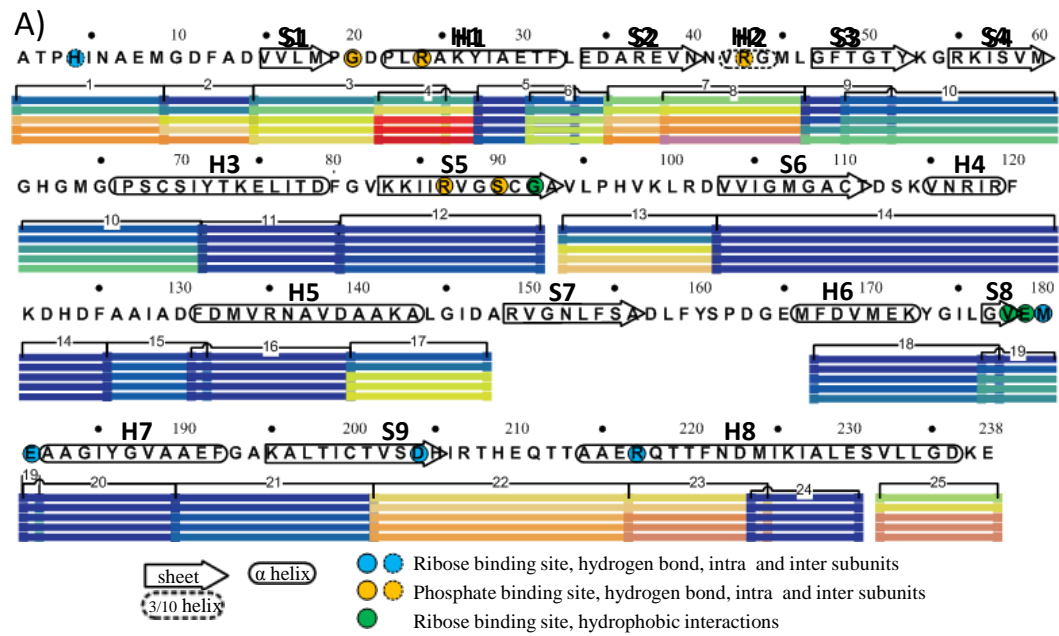
Unliganded vs. ternary complex with phosphate and formycin A

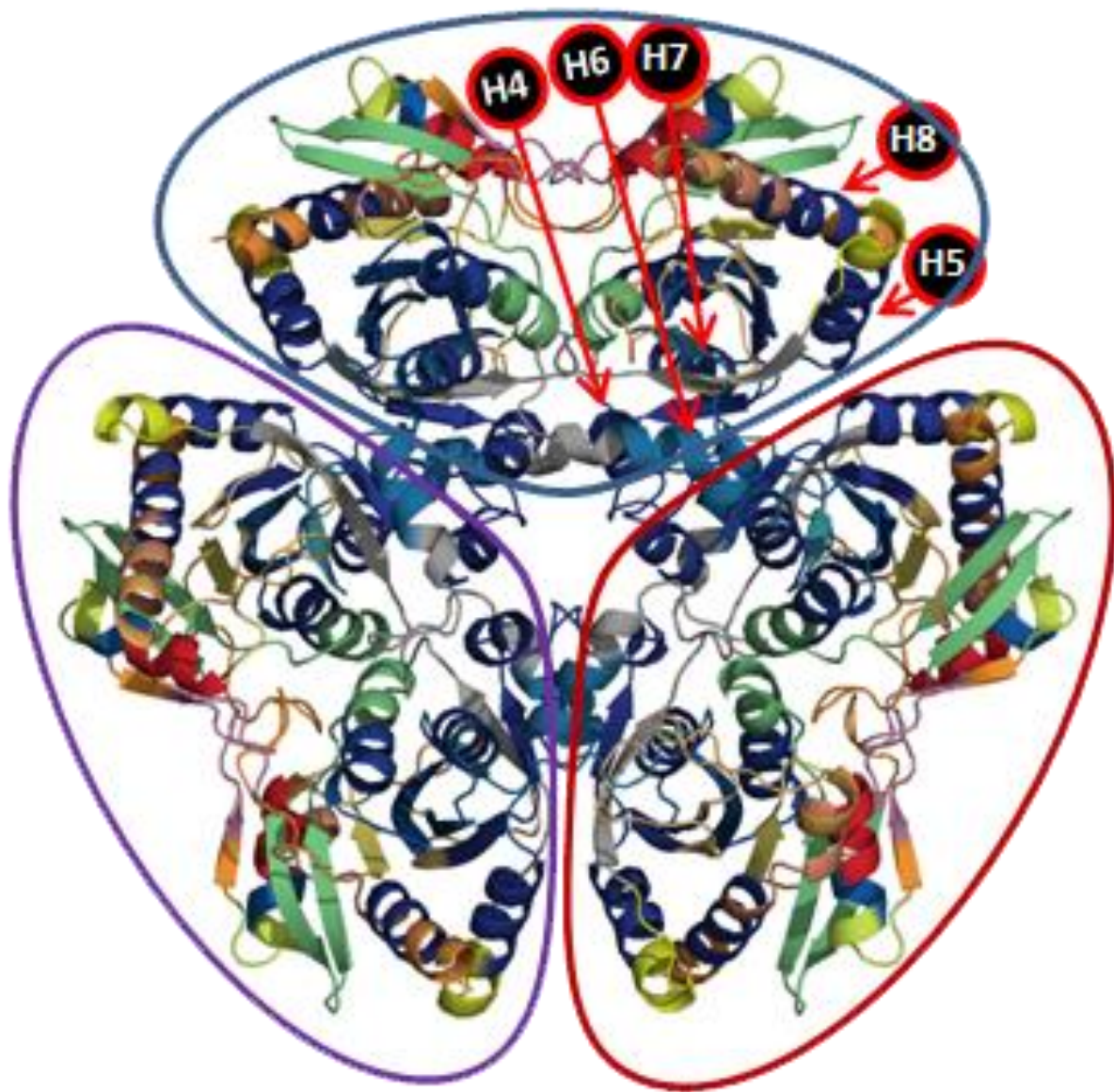
E) R24A mutant of *E. coli* PNP protein



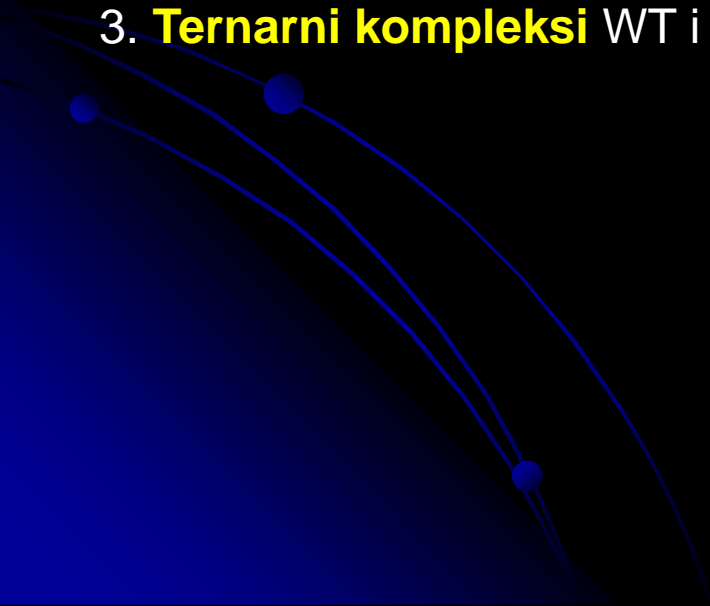
F) Wild type *E. coli* PNP protein



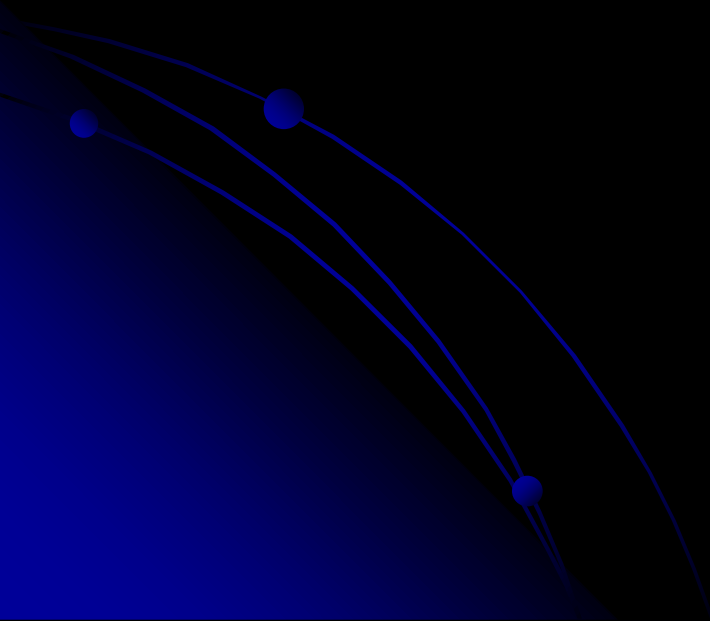




ZAKLJUČCI MS EKSPERIMENATA:

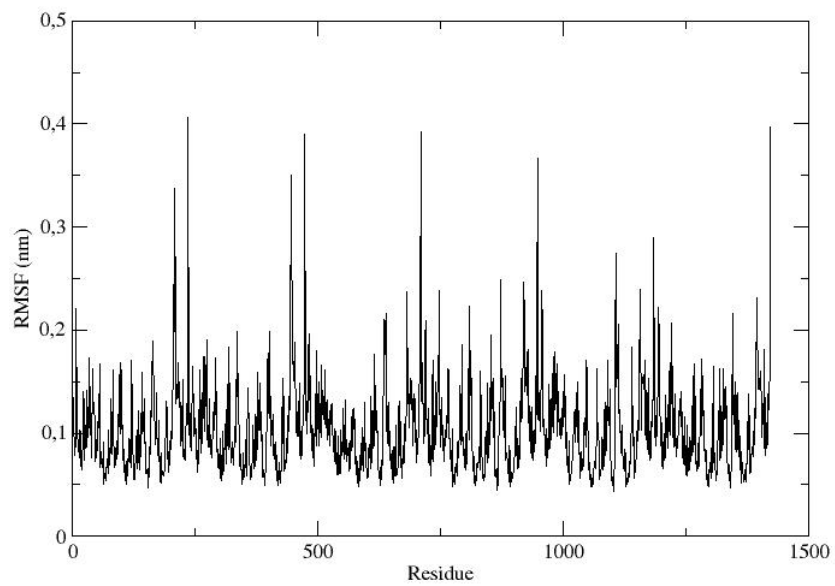
0. Generalno, **unutrašnjost heksamera je vrlo rigidna**, fleksibilne regije su na površini
 1. **Nije uočena veća razlika** u MS spektrima između **APO struktura** WT i R24A
 2. **Najveća razlika** je između **binarnih kompleksa** WT i R24A, pri čemu se binarni kompleks R24A ponaša se slično APO strukturama
 3. **Ternarni kompleksi** WT i R24A se međusobno **razlikuju**
- 

REZULTATI MD SIMULACIJA

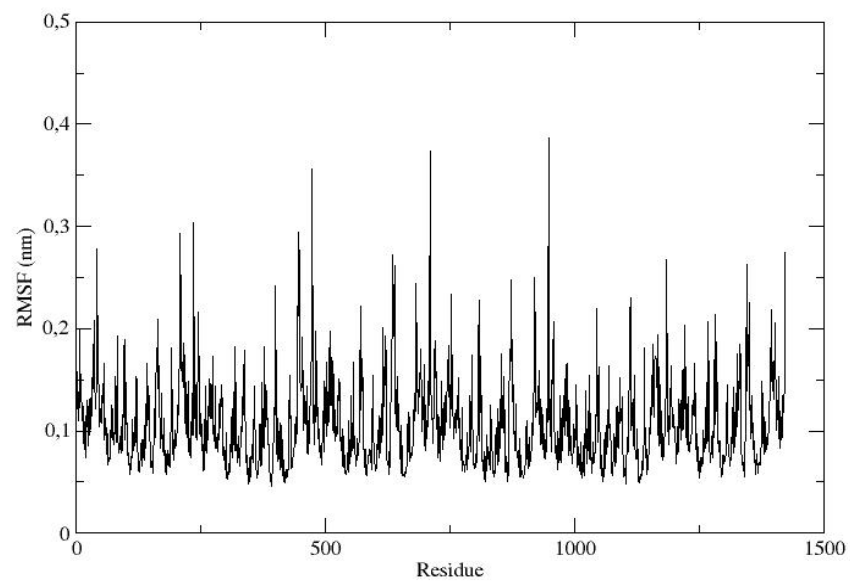


FLUKTUACIJE

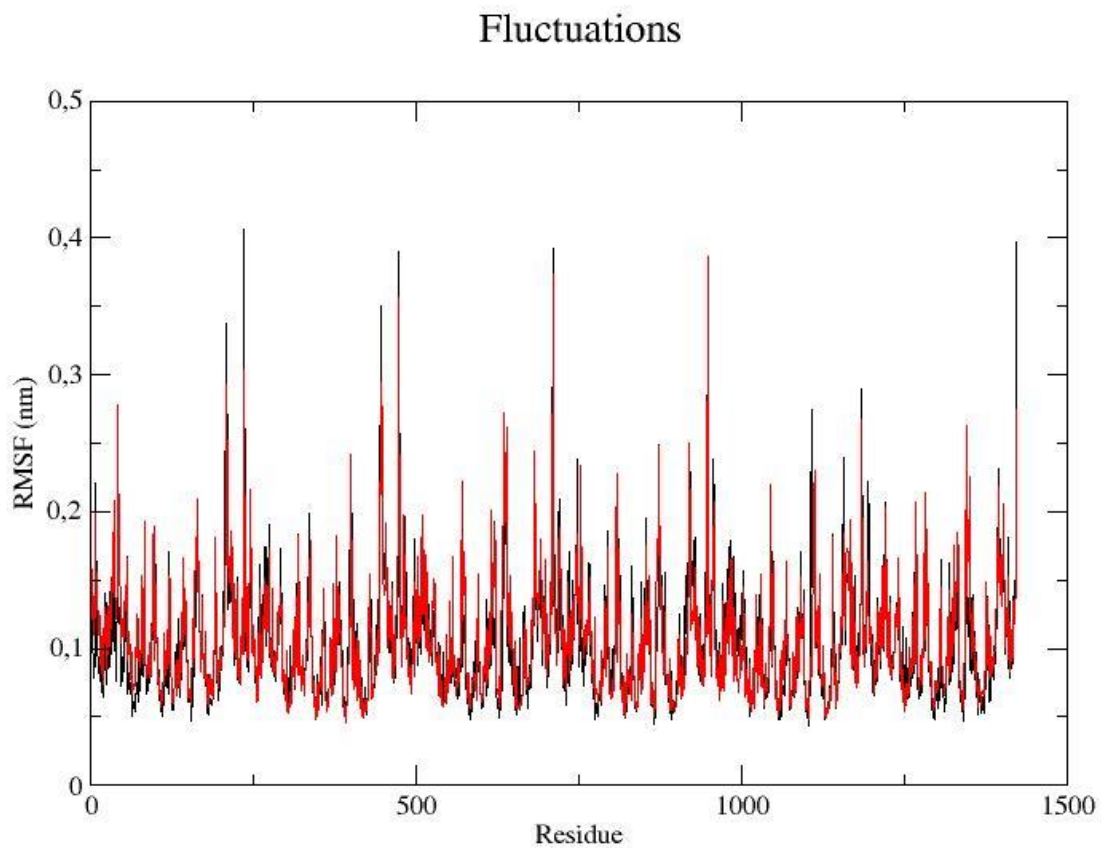
Fluctuations of apo WT PNP



Fluctuations of apo R24A PNP



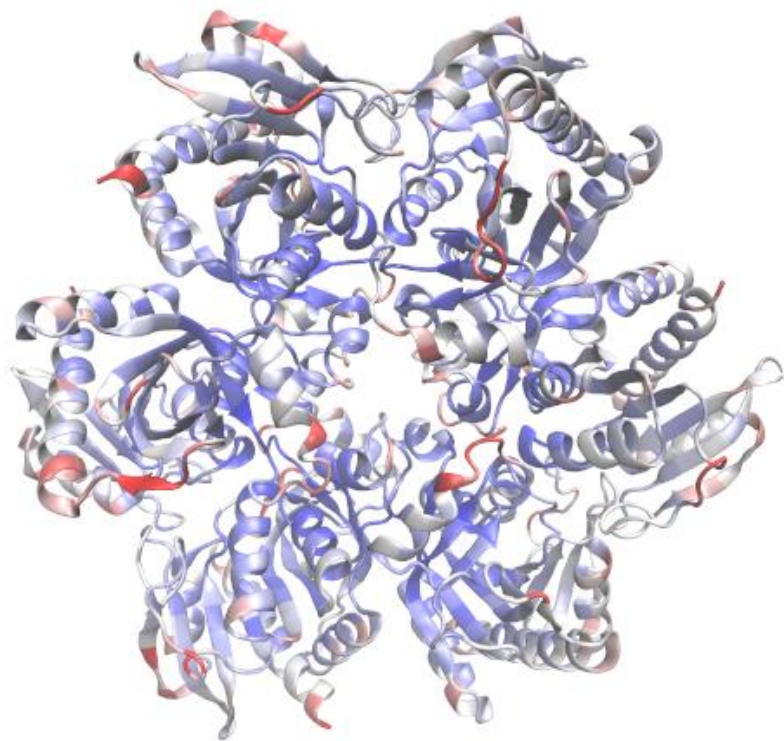
APO – WT vs R24A



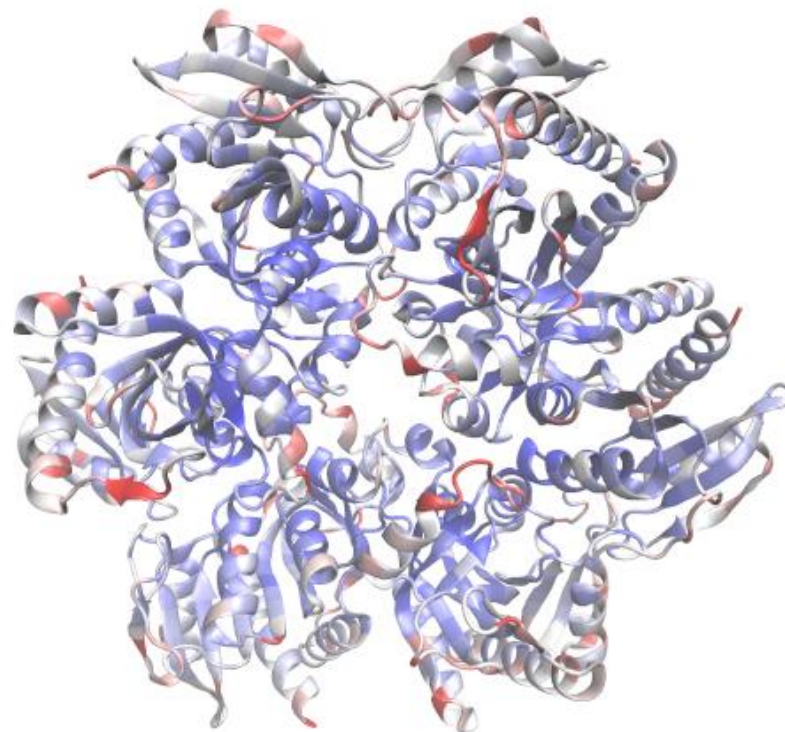
WT – crno

R24A - crveno

FLUKTUACIJE TIJEKOM MD SIMULACIJA (crveno 3 Å, plavo 0.2 Å)



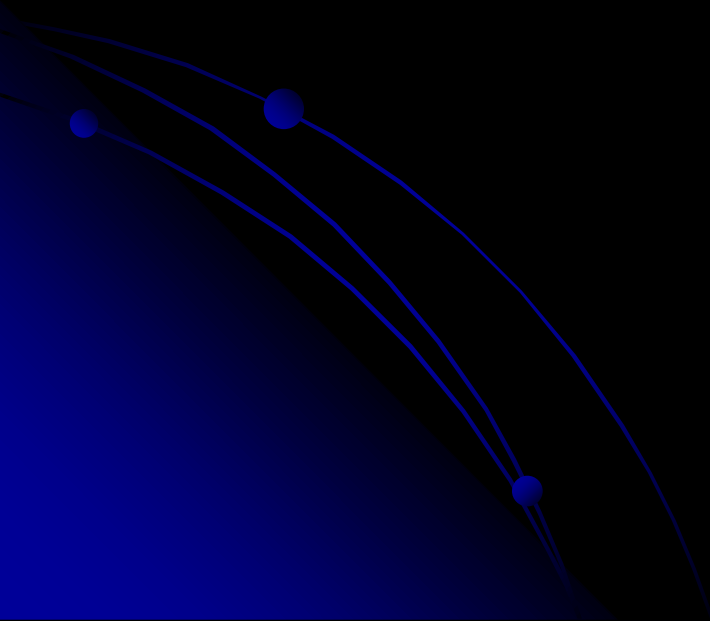
APO - WT



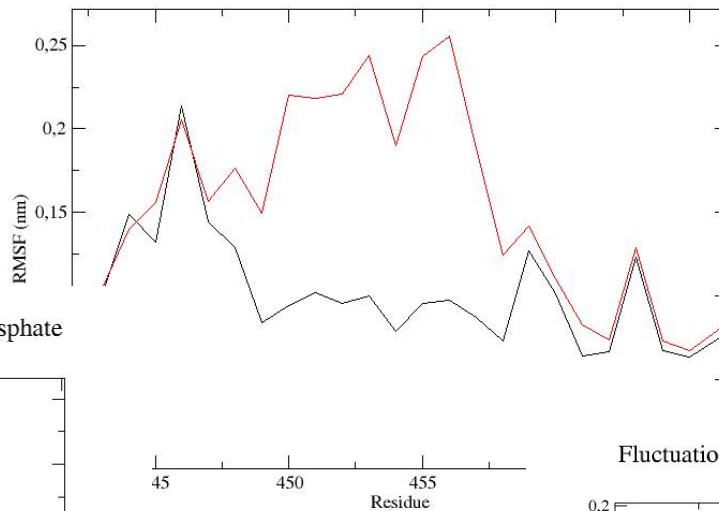
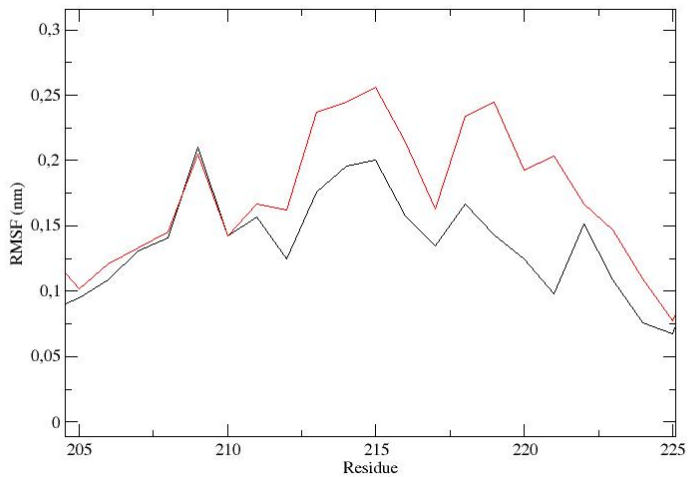
APO - R24A

USPOREEDBA S MS EKSPERIMENTIMA:

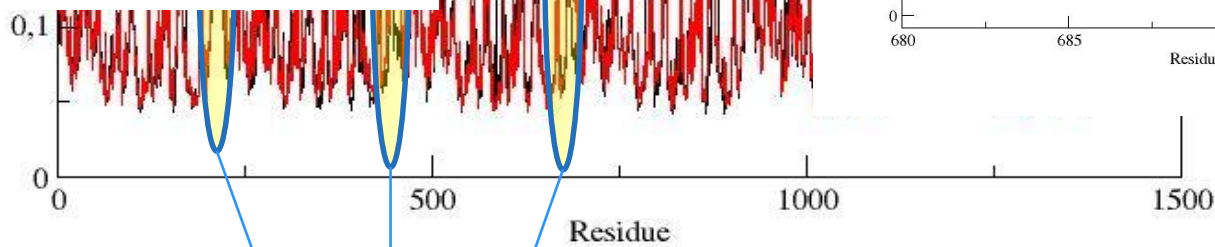
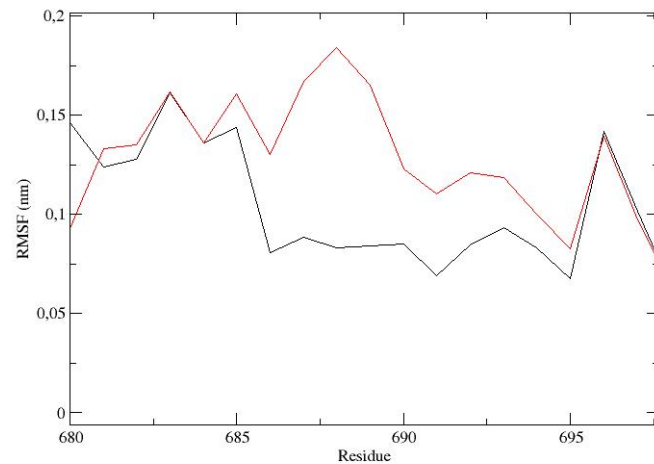
0. Generalno, **unutrašnjost heksamera je vrlo rigidna**, fleksibilne regije su na površini
1. **Nije uočena veća razlika** u MS spektrima između **APO struktura** WT i R24A



Fluctuations of R24A PNP binary complex with phosphate

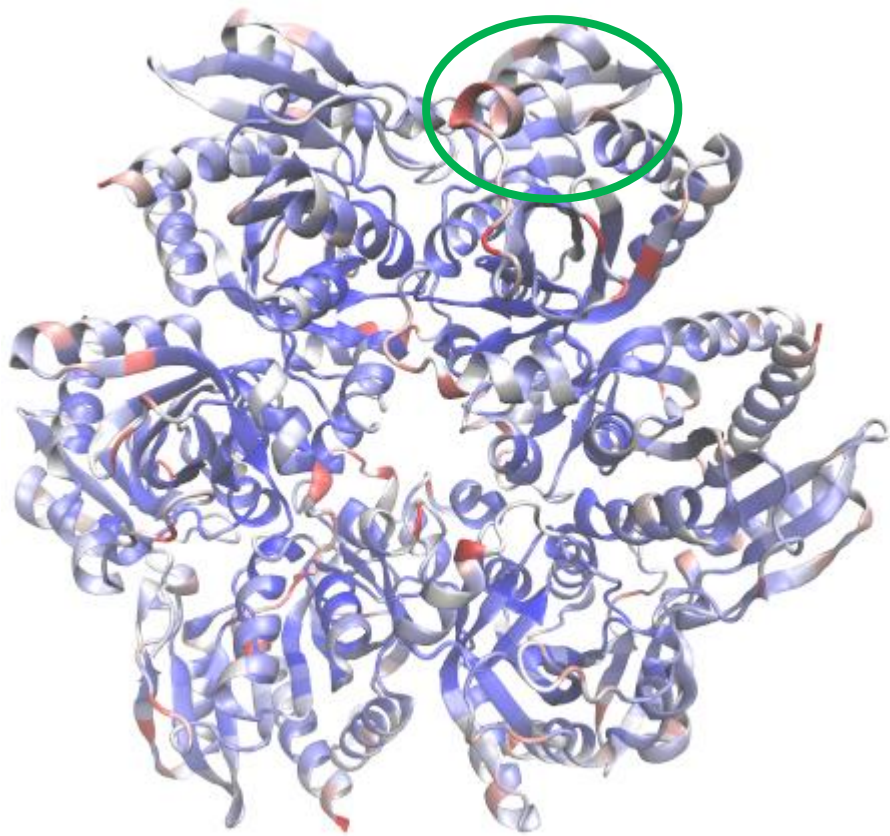


Fluctuations of R24A PNP binary complex with phosphate

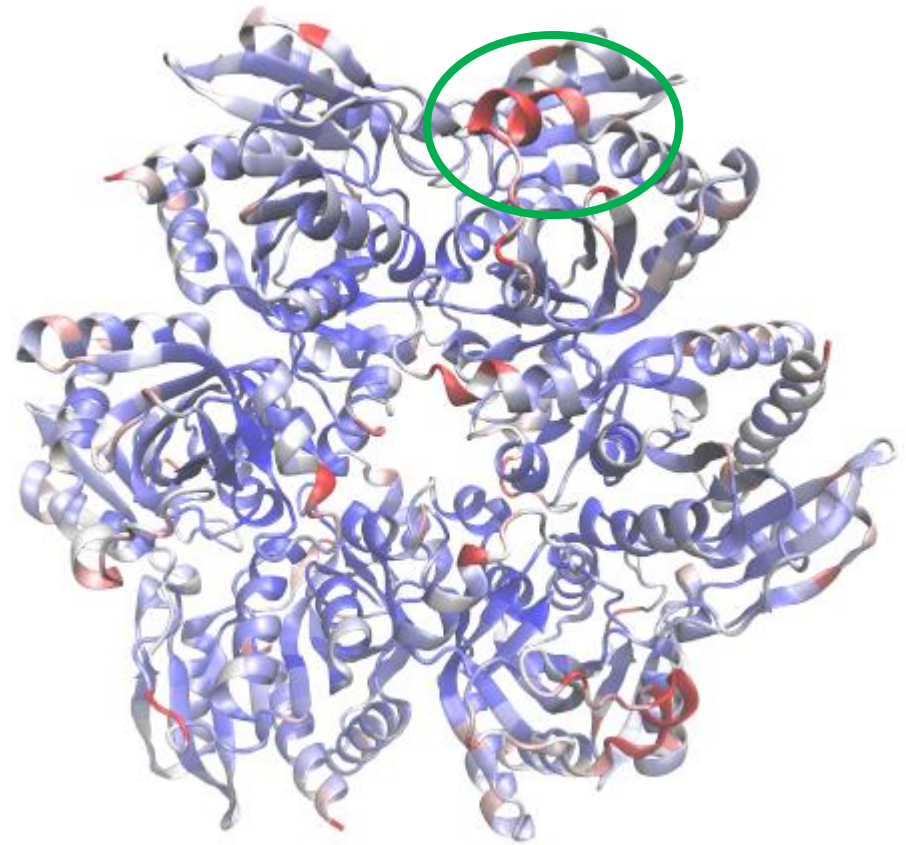


Amino kiseline - 212-222
(212-222, 449-459, 686-696)

WT – crno
R24A - crveno

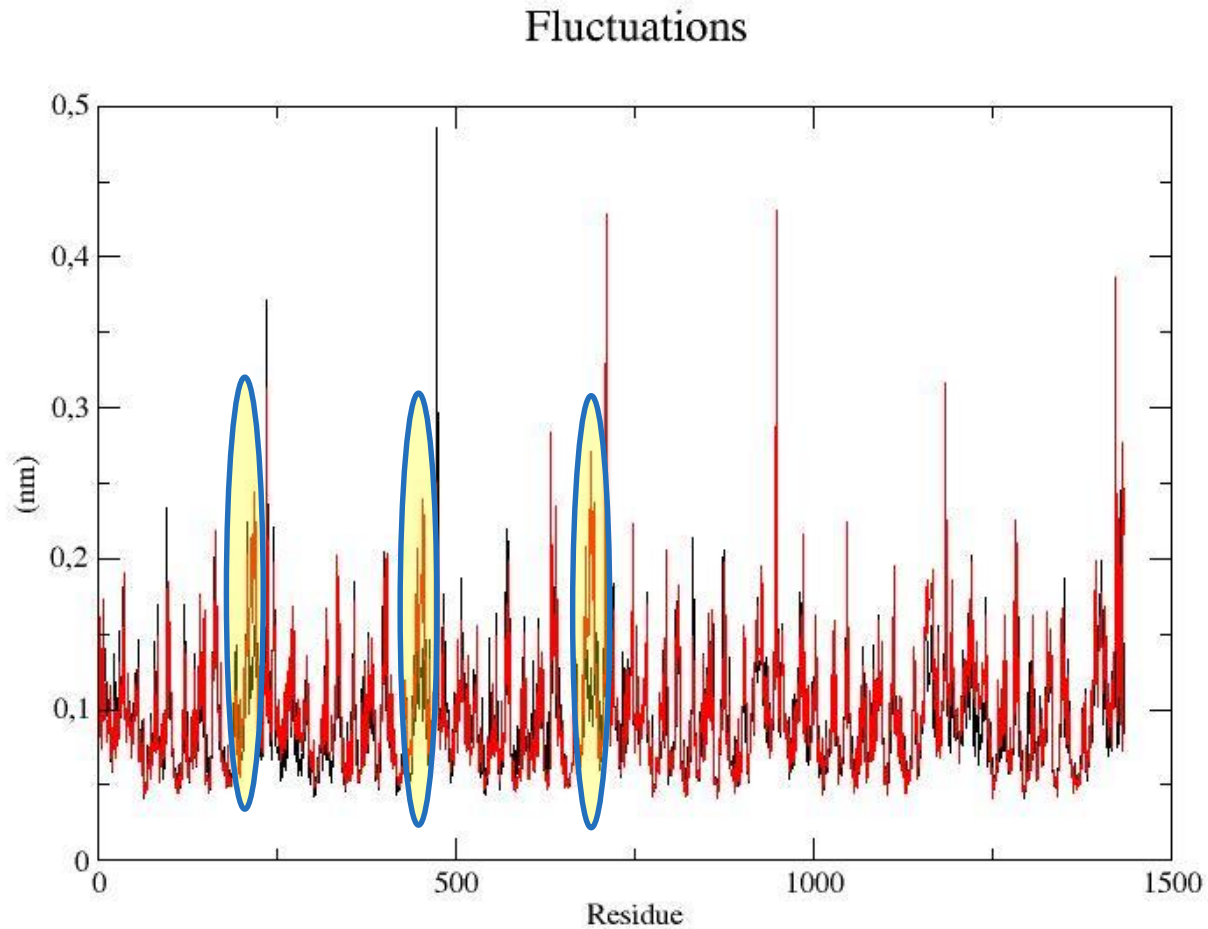


binarni- **WT**

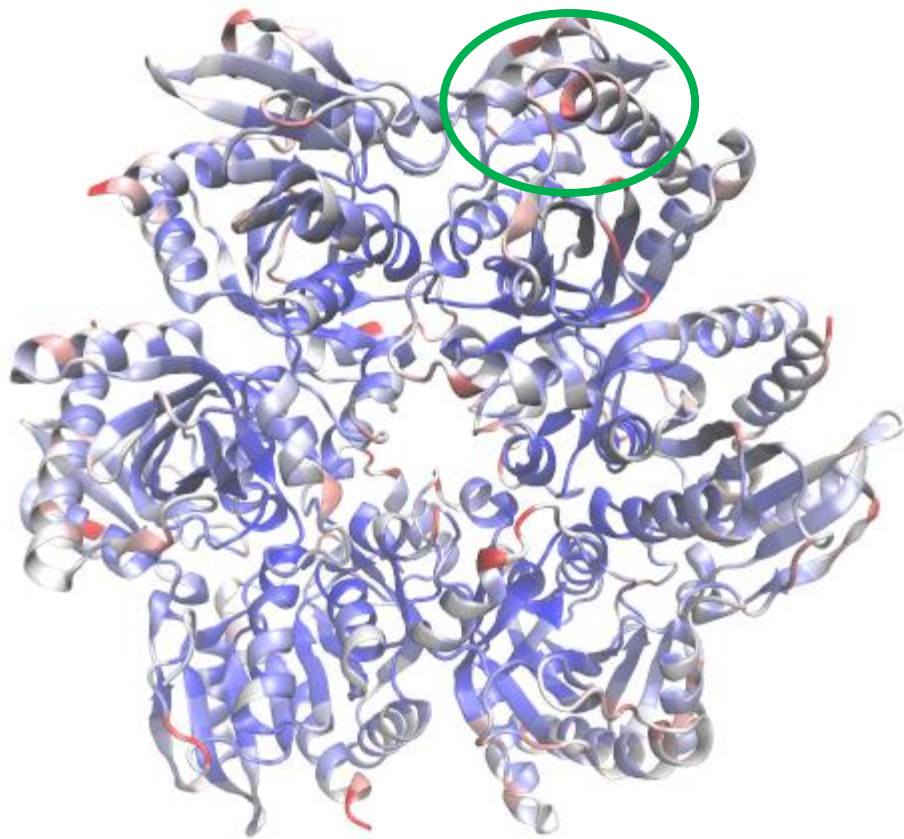


binarni- **R24A**

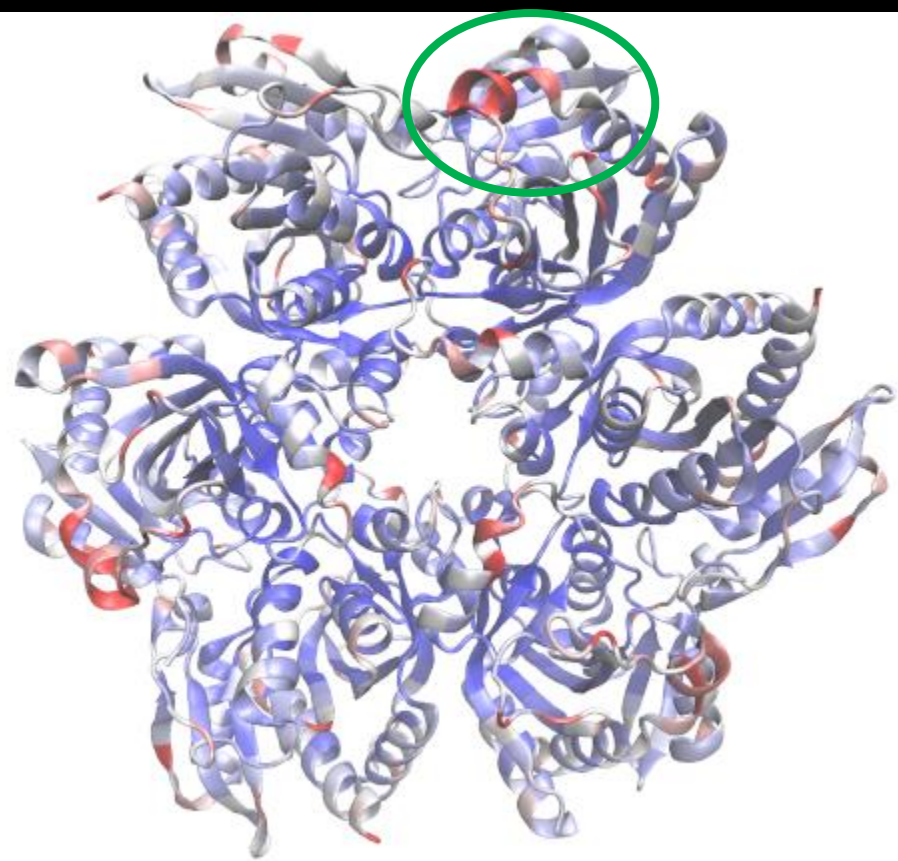
Ternarni kompleks– WT vs R24A



WT – crno
R24A - crveno

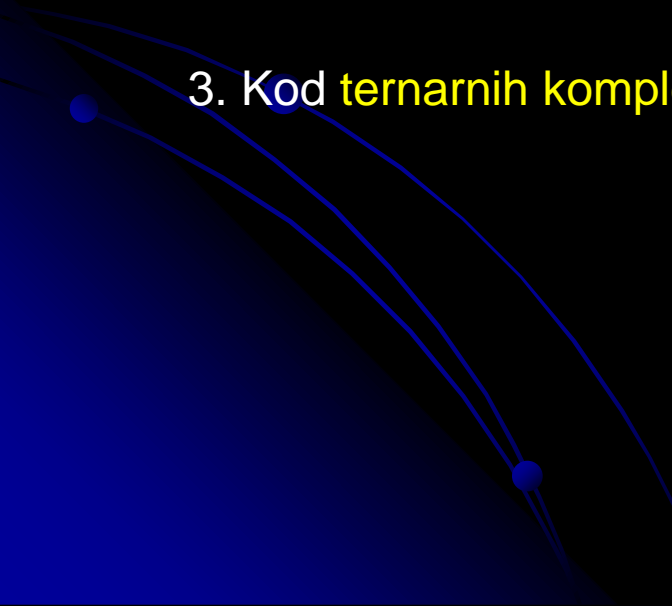


Ternarni - WT

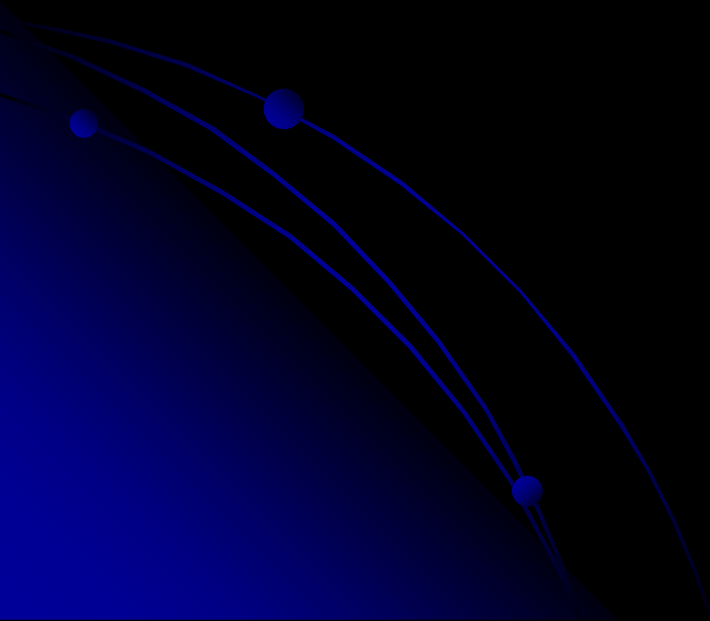


Ternarni - R24A

REZULTATI ANALIZE FLUKTUACIJA

0. Općenito, **enzim je vrlo rigidan**, fleksibilne regije su na površini
 1. **Apo strukture se slično ponašaju**, odnosno imaju slične fluktuacije
 2. **Najveća razlika** u fluktuacijama **binarnih kompleksa** WT i R24A je u fluktuiranju **rezidua 212-222**; u 3 aktivna mjesta ti rezidui značajno jače fluktuiraju kod R24A mutanta.
 3. Kod **ternarnih kompleksa** je uočena **ista razlika kao i kod binarnih**
- 

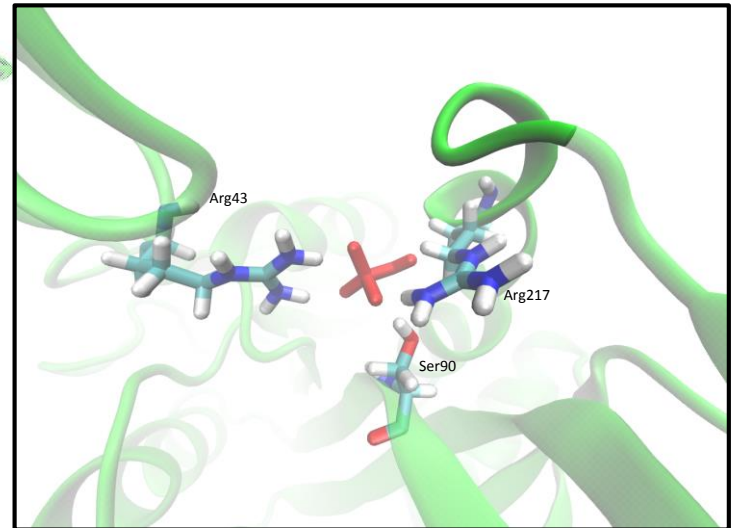
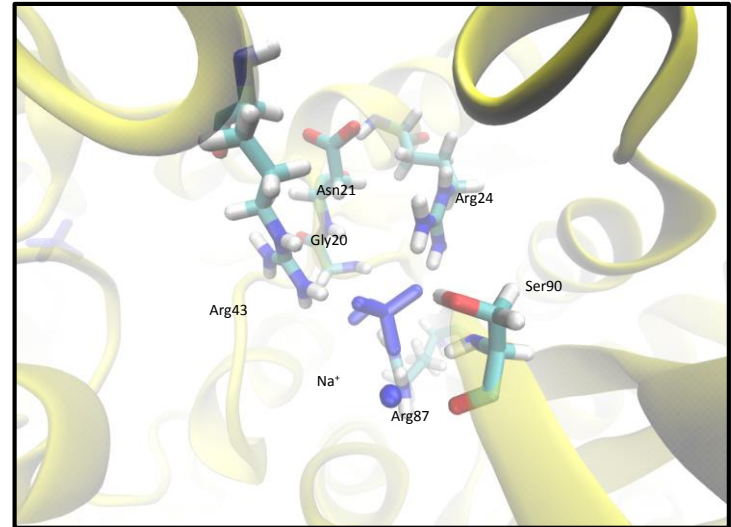
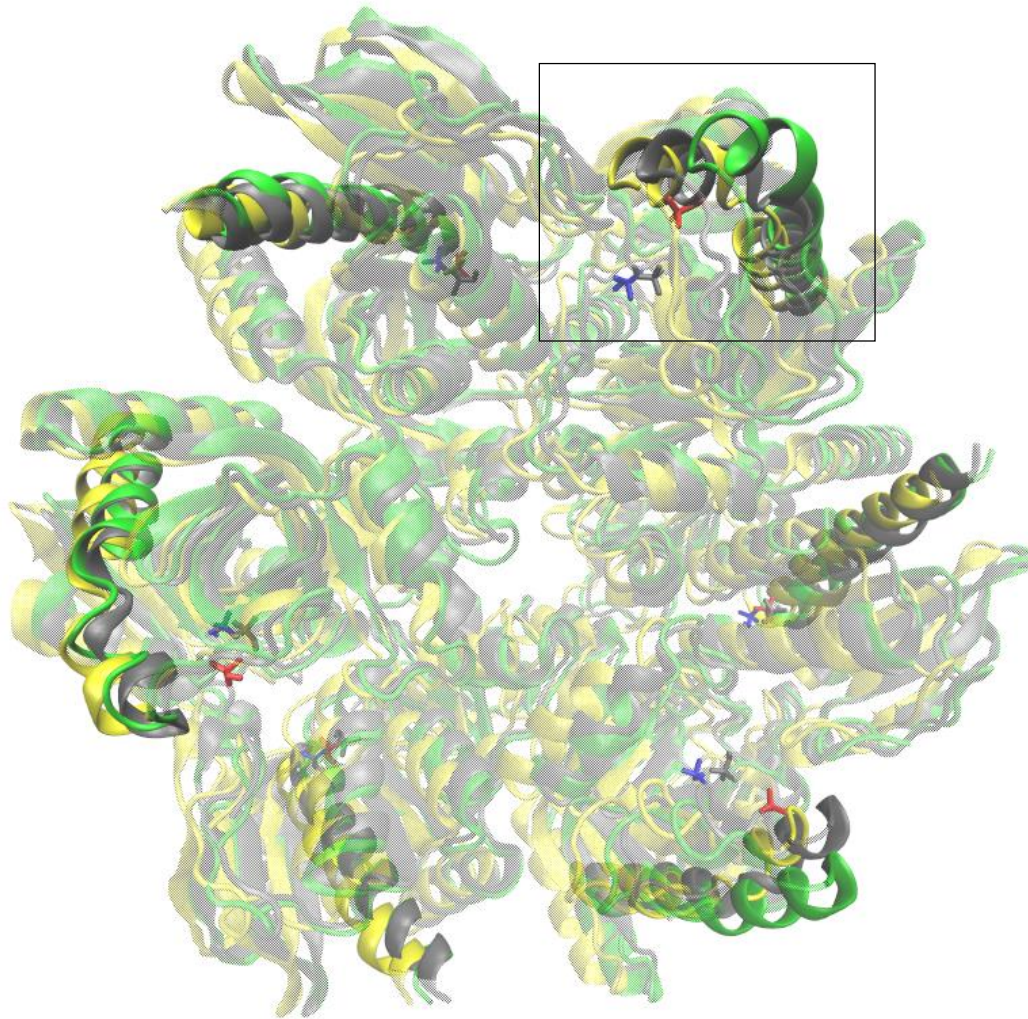
VEZANJE FOSFATA



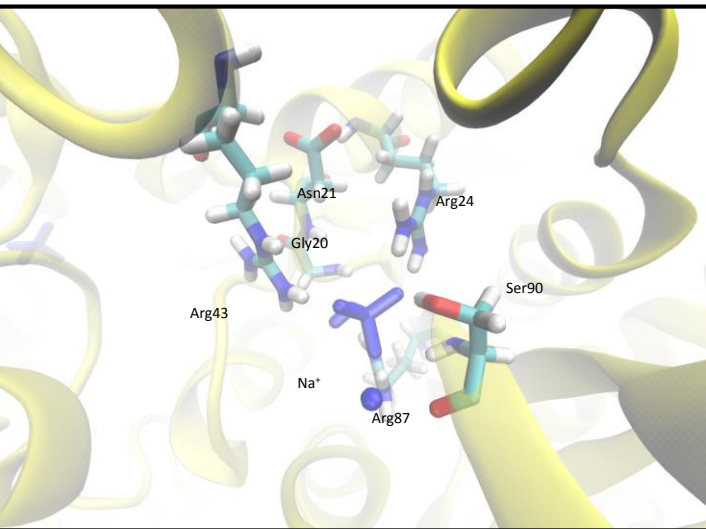
VEZANJE FOSFATA

BINARNI KOMPLEKS

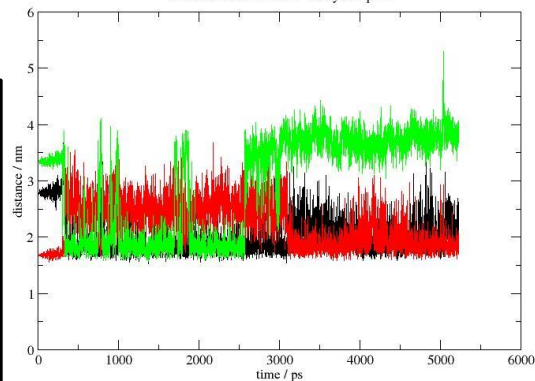
protein: **zeleno** R24A, **žuto** WT, sivo kristalna struktura
fosfat: **crveno** R24A, **plavo** WT, sivo kristalna struktura



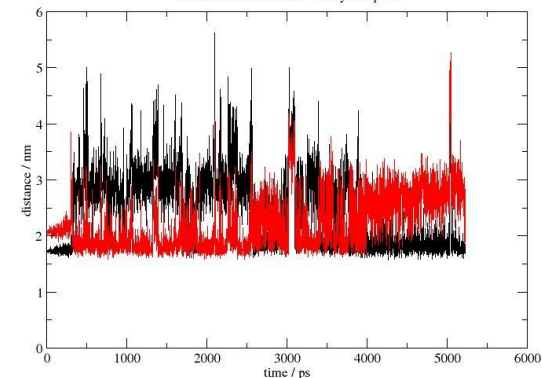
INTERAKCIJE FOSFATA TIJEKOM MD SIMULACIJE KOD WT PNP



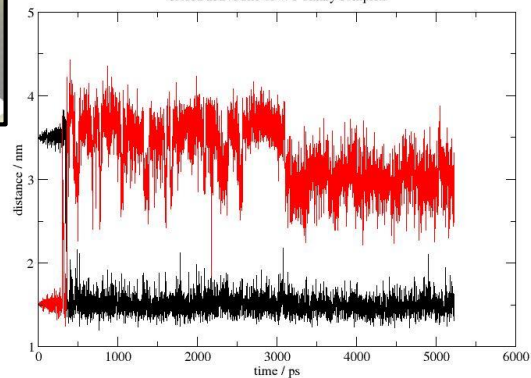
H-bonds Arg24 - phosphate ion
closed active site of WT binary complex



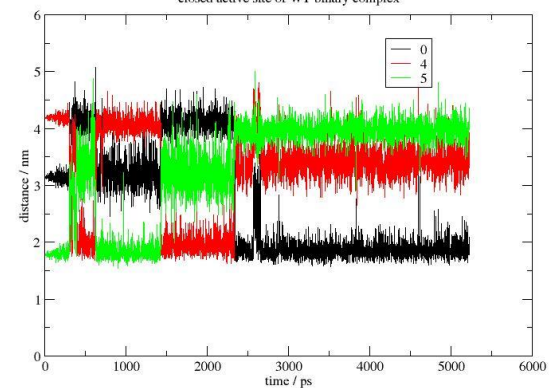
H-bonds Arg87 - phosphate ion
closed active site of WT binary complex



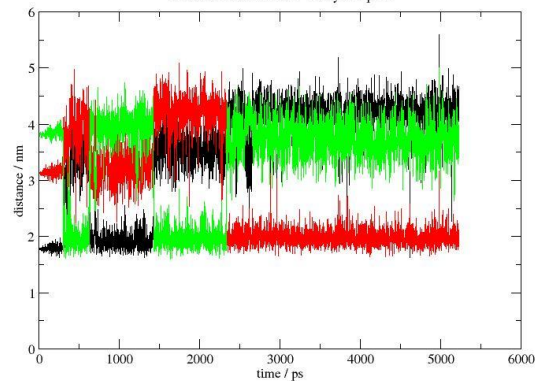
H-bonds Ser90 - phosphate ion
closed active site of WT binary complex



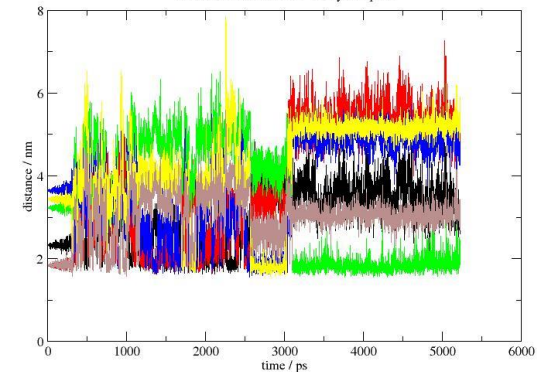
H-bonds backbone Ser90 - phosphate ion
closed active site of WT binary complex



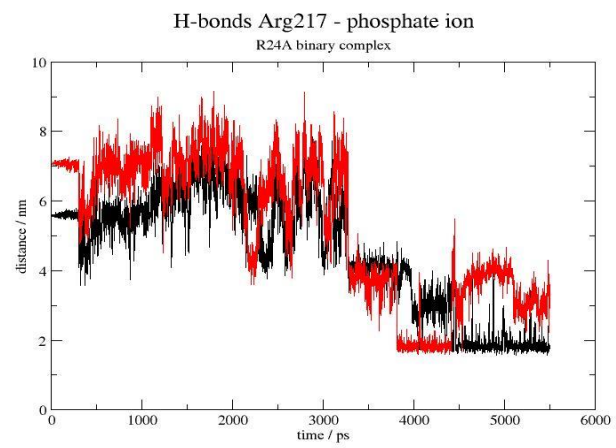
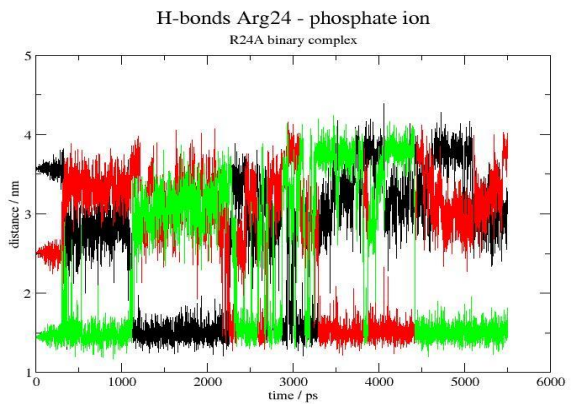
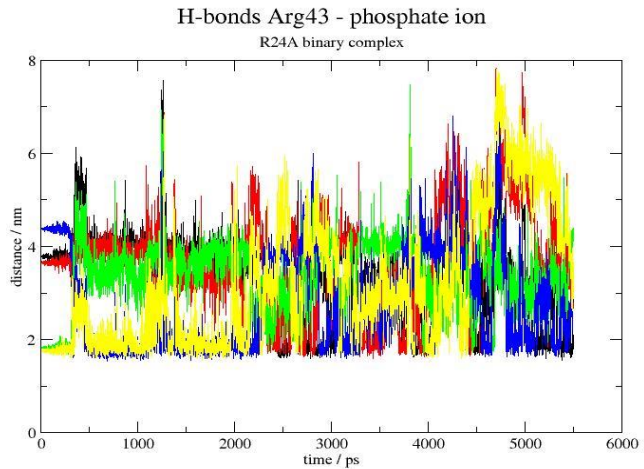
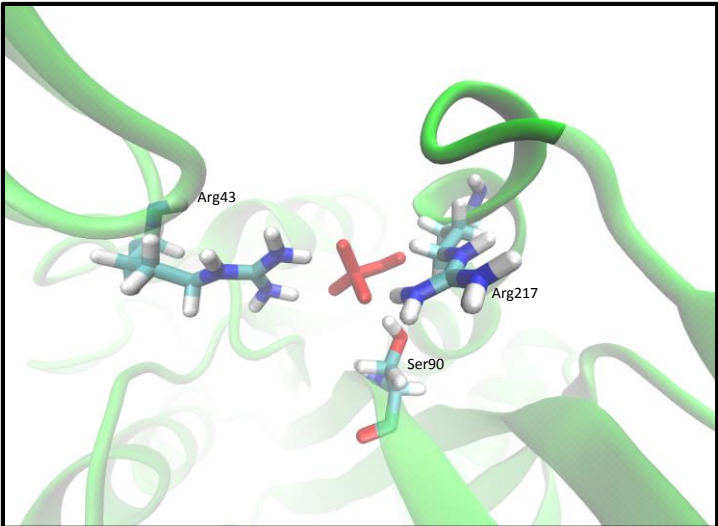
H-bonds backbone Gly20 - phosphate ion
closed active site of WT binary complex



H-bonds Arg43 - phosphate ion
closed active site of WT binary complex



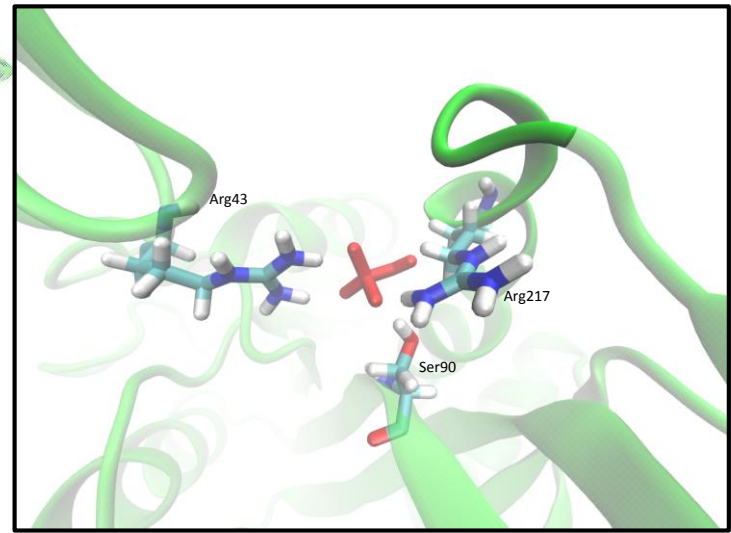
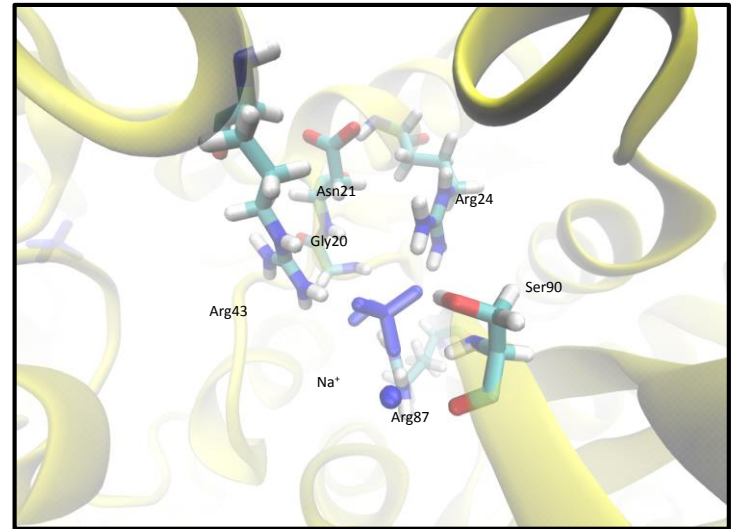
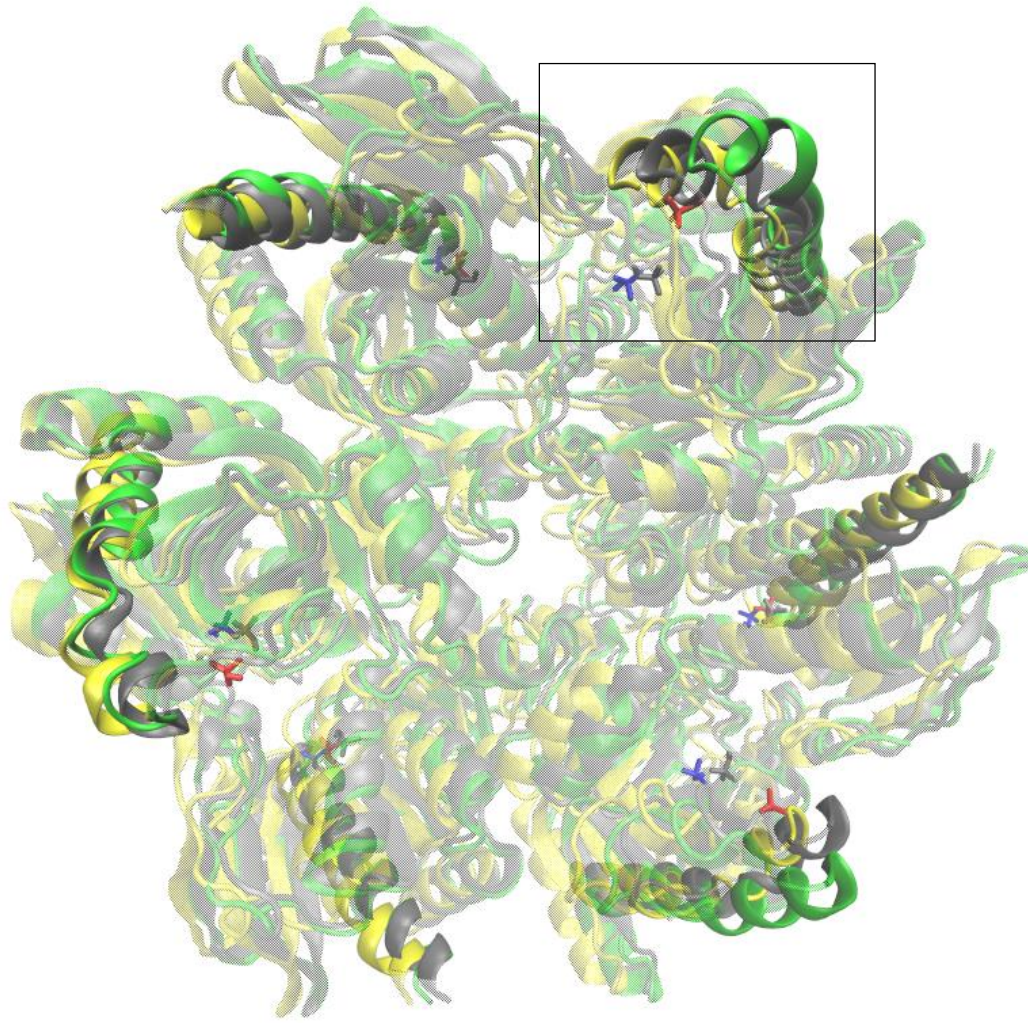
INTERAKCIJE FOSFATA TIJEKOM MD SIMULACIJE KOD R24A mutanta PNP



VEZANJE FOSFATA

BINARNI KOMPLEKS

protein: **zeleno** R24A, **žuto** WT, sivo kristalna struktura
fosfat: **crveno** R24A, **plavo** WT, sivo kristalna struktura

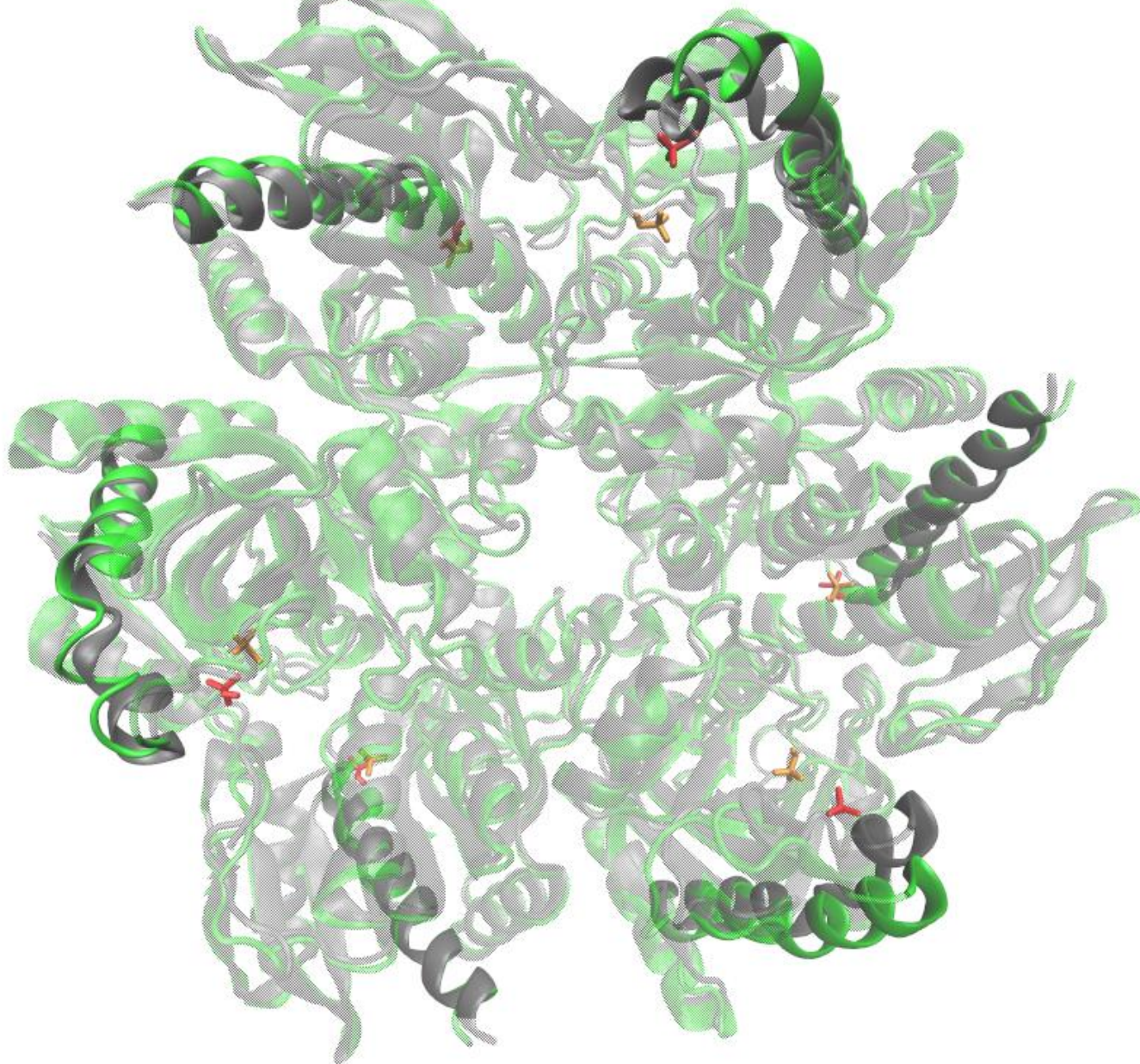


BINARNI KOMPLEKS

VEZANJE FOSFATA I KONFORMACIJSKA PROMJENA

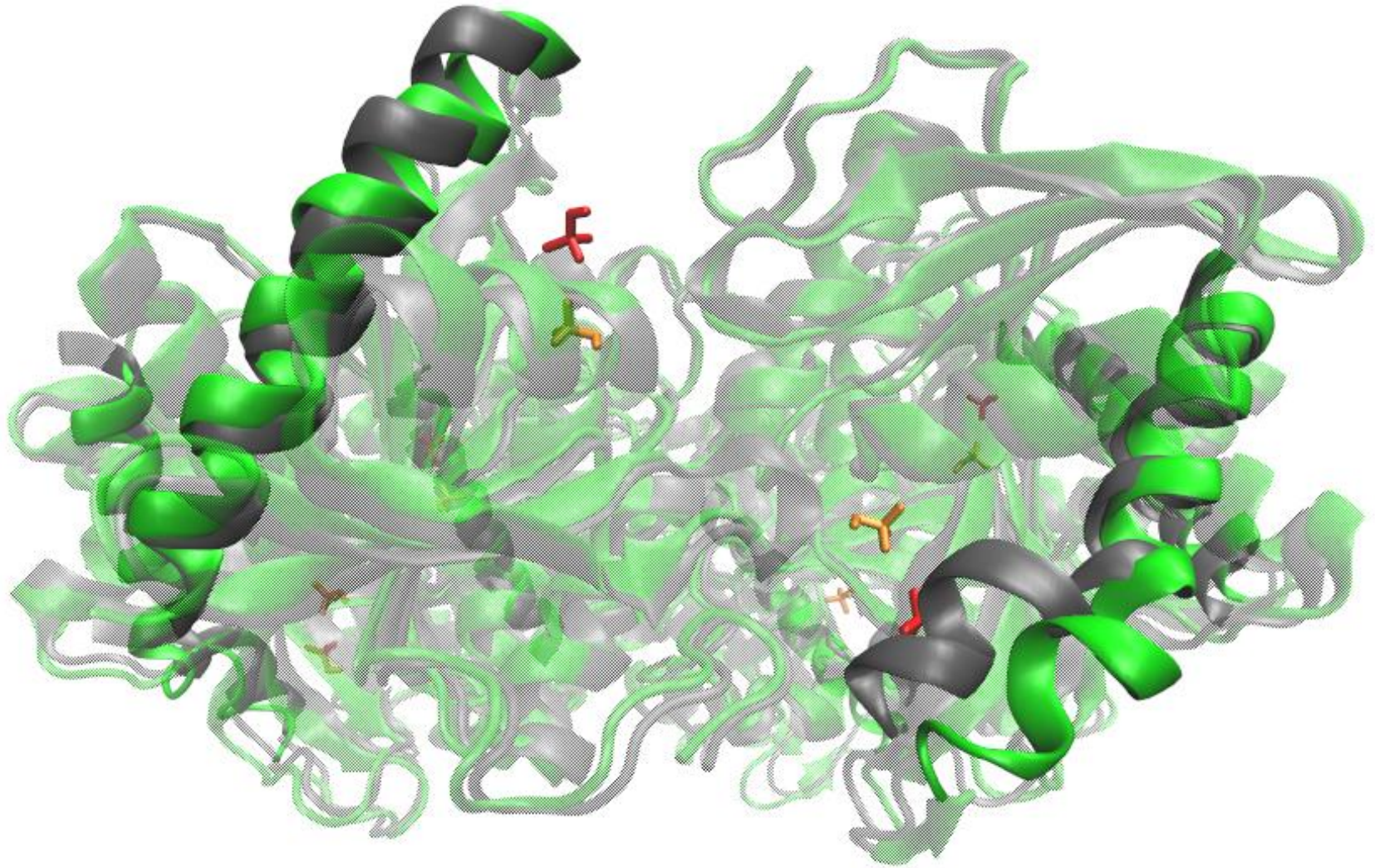
protein: **zeleno** R24A, sivo kristalna struktura

fosfat: **crveno** R24A, **žuto** kristalna struktura

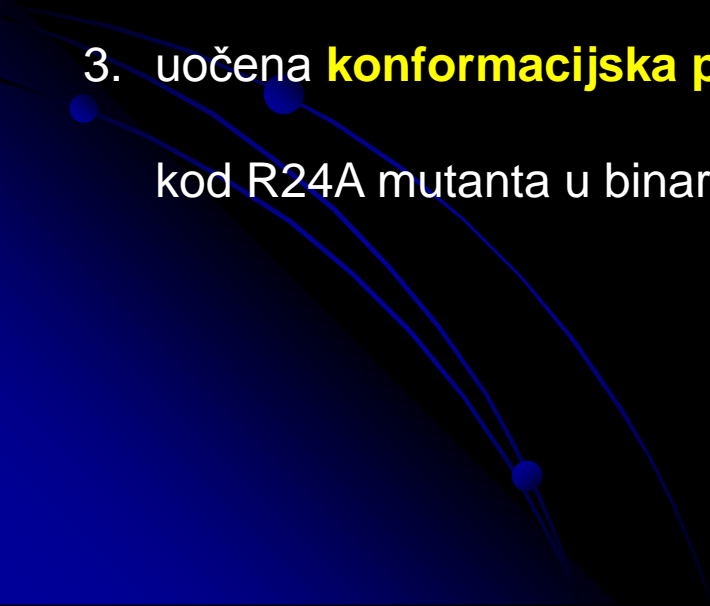


KONFORMACIJSKA PROMJENA

BINARNI KOMPLEKS (zeleno R24A, sivo kristalna struktura)



REZULTATI MD SIMULACIJA:

1. analiza fluktuacija potvrđuje rezultate MS eksperimenata - **unutrašnjost**
heksamera je vrlo rigidna, fleksibilne regije su na površini
 2. uočena **razlika u vezanju fosfata** između R24A mutanta i WT
 3. uočena **konformacijska promjena** iz „zatvorenog” u „otvoreno” vezno mjesto kod R24A mutanta u binarnom i ternarnom kompleksu
- 

OPĆENITI ZAKLJUČCI:

0. vrlo dobro **slaganje rezultata** MS eksperimenata i MD simulacija

1. **fleksibilnost** - unutrašnjost heksamera je vrlo rigidna, fleksibilne regije su na površini

2. Arg24 je neophodan za **produktivno vezanje fosfata**, ali i za **stabilizaciju**

„zatvorene” konformacije aktivnog mjesta (*možda je vezanje fosfata neophodno za stabilizaciju veznog mjesta, a vezanje fosfata ovisi o R24?*)

3. razlike u MS spektrima posljedica su **različitog načina vezanja fosfata**

kod WT i R24A mutanta i **konformacijske promijene** uzrokovane mutacijom

EKSPERIMENTI SU POTVRDILI RAČUNALNE REZULTATE

ILI

**RAČUNALNI REZULTATI OMOGUĆAVAJU
INTERPRETACIJU EKSPERIMENTALNIH REZULTATA NA
MOLEKULARNOJ RAZINI**

